



NATA LIGHTING CO.,LTD.
www.nata.cn
Email:info@nata.com
Tel:+86-750-3770000 Fax:+86-750-3771111
Address:380JinOu Road,GaoXin Zone,Jiang Men City,Guangdong,China

NATA

Client:

LumCAT: 2-2639-L

Luminaire: 92.70.412.00

Report No: 20231109-B014

Ballast type: AC

Test No: 20231009-C014

Voltage(V): 34.180

LampCAT: BRIDGELUX V13B LES13

Current(A): 0.451

Lamp flux(lm): 2091.1

Power (W): 15.415

Number of Lamps: 1

PF: 0.000

Length(mm): 0

Width(mm): 0

Phm Type: C

Height(mm): 0

Photometric Results

Lumens(lm): 1979.69, Efficiency(%): 94.67% , Luminous Efficacy(lm/W): 128.43

Central intensity(cd): 8895.407, Maximum intensity(cd): 8895.407

Angle of maximum intensity: C=0.0 γ =0.0

Beam Angle(50%Imax): [C0/180]Total=19.8

[C90/270]Total=19.8

Field angle(10%Imax): [C0/180]Total=52.4

[C90/270]Total=52.4

Beam angle of C0 plane : 19.86

Aveage BeamAngle(IEC 61341):19.86

Maximum s/h(1/2): C0_180=0.34 C90_270=0.34

Maximum s/h(1/4): C0_180=0.37 C90_270=0.37

Up flux rate of lamp(%): 0.00%

Down flux rate of lamp(%): 94.67%

Up flux rate of LUM(%): - -

Down flux rate of LUM(%): 100.00%

CIE Type : Direct lighting

Output flux ratio in π solid angle : 97.969%

$\gamma(^{\circ})$	Average I(cd)	Zonal F(lm)	Sum F(lm)	Eff Flux(%)	Eff Sum(%)
0.0	8895.407	0.000	0	0.00%	0.00%
1.0	8811.615	8.472	8.472	0.41%	0.43%
2.0	8610.681	25.006	33.479	1.20%	1.69%
3.0	8269.703	40.372	73.851	1.93%	3.73%
4.0	7836.977	53.914	127.765	2.58%	6.45%
5.0	7295.549	65.099	192.864	3.11%	9.74%
6.0	6733.503	73.726	266.591	3.53%	13.47%
7.0	6157.894	80.017	346.608	3.83%	17.51%
8.0	5521.674	83.588	430.196	4.00%	21.73%
9.0	4946.619	84.840	515.036	4.06%	26.02%
10.0	4411.488	84.687	599.723	4.05%	30.29%
11.0	3936.693	83.415	683.139	3.99%	34.51%
12.0	3461.551	80.873	764.012	3.87%	38.59%
13.0	3063.559	77.437	841.449	3.70%	42.50%
14.0	2704.798	73.834	915.283	3.53%	46.23%
15.0	2382.018	69.834	985.117	3.34%	49.76%
16.0	2108.848	65.804	1050.921	3.15%	53.09%
17.0	1878.715	62.097	1113.018	2.97%	56.22%
18.0	1690.236	58.844	1171.862	2.81%	59.19%
19.0	1536.076	56.131	1227.994	2.68%	62.03%
20.0	1386.186	53.486	1281.479	2.56%	64.73%
21.0	1253.033	50.678	1332.157	2.42%	67.29%
22.0	1173.393	48.760	1380.917	2.33%	69.75%
23.0	1112.884	47.972	1428.89	2.29%	72.18%
24.0	1036.448	46.992	1475.882	2.25%	74.55%
25.0	967.581	45.567	1521.449	2.18%	76.85%
26.0	905.343	44.211	1565.66	2.11%	79.09%
27.0	839.112	42.678	1608.338	2.04%	81.24%
28.0	768.239	40.695	1649.033	1.95%	83.30%
29.0	687.367	38.083	1687.116	1.82%	85.22%
30.0	610.772	35.049	1722.165	1.68%	86.99%
31.0	524.039	31.580	1753.745	1.51%	88.59%
32.0	448.468	27.861	1781.606	1.33%	89.99%
33.0	373.824	24.225	1805.831	1.16%	91.22%
34.0	301.947	20.451	1826.282	0.98%	92.25%
35.0	247.514	17.064	1843.346	0.82%	93.11%
36.0	205.791	14.433	1857.78	0.69%	93.84%
37.0	139.076	11.248	1869.027	0.54%	94.41%

$\gamma(^{\circ})$	Average I(cd)	Zonal F(lm)	Sum F(lm)	Eff Flux(%)	Eff Sum(%)
38.0	92.503	7.730	1876.757	0.37%	94.80%
39.0	70.105	5.550	1882.307	0.27%	95.08%
40.0	58.495	4.485	1886.792	0.21%	95.31%
41.0	51.769	3.926	1890.719	0.19%	95.51%
42.0	46.649	3.576	1894.295	0.17%	95.69%
43.0	42.352	3.297	1897.592	0.16%	95.85%
44.0	38.844	3.065	1900.656	0.15%	96.01%
45.0	35.675	2.864	1903.52	0.14%	96.15%
46.0	33.371	2.700	1906.22	0.13%	96.29%
47.0	31.503	2.580	1908.801	0.12%	96.42%
48.0	29.926	2.483	1911.284	0.12%	96.54%
49.0	28.701	2.408	1913.691	0.12%	96.67%
50.0	27.704	2.352	1916.043	0.11%	96.78%
51.0	26.840	2.308	1918.351	0.11%	96.90%
52.0	26.203	2.276	1920.627	0.11%	97.02%
53.0	25.781	2.261	1922.888	0.11%	97.13%
54.0	25.483	2.260	1925.148	0.11%	97.24%
55.0	25.525	2.277	1927.425	0.11%	97.36%
56.0	25.788	2.319	1929.743	0.11%	97.48%
57.0	26.113	2.373	1932.116	0.11%	97.60%
58.0	26.397	2.428	1934.545	0.12%	97.72%
59.0	26.438	2.470	1937.015	0.12%	97.84%
60.0	26.092	2.482	1939.496	0.12%	97.97%
61.0	25.158	2.446	1941.942	0.12%	98.09%
62.0	23.449	2.342	1944.284	0.11%	98.21%
63.0	21.387	2.181	1946.465	0.10%	98.32%
64.0	19.014	1.982	1948.447	0.09%	98.42%
65.0	17.153	1.790	1950.237	0.09%	98.51%
66.0	15.720	1.640	1951.877	0.08%	98.59%
67.0	14.793	1.534	1953.412	0.07%	98.67%
68.0	14.177	1.468	1954.879	0.07%	98.75%
69.0	13.672	1.421	1956.3	0.07%	98.82%
70.0	13.250	1.383	1957.683	0.07%	98.89%
71.0	12.842	1.349	1959.031	0.06%	98.96%
72.0	12.475	1.316	1960.348	0.06%	99.02%
73.0	12.136	1.287	1961.635	0.06%	99.09%
74.0	11.832	1.260	1962.895	0.06%	99.15%
75.0	11.534	1.235	1964.129	0.06%	99.21%

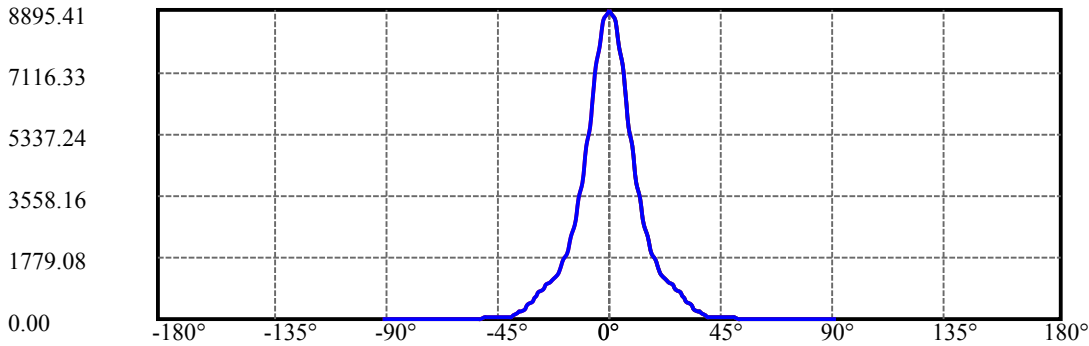
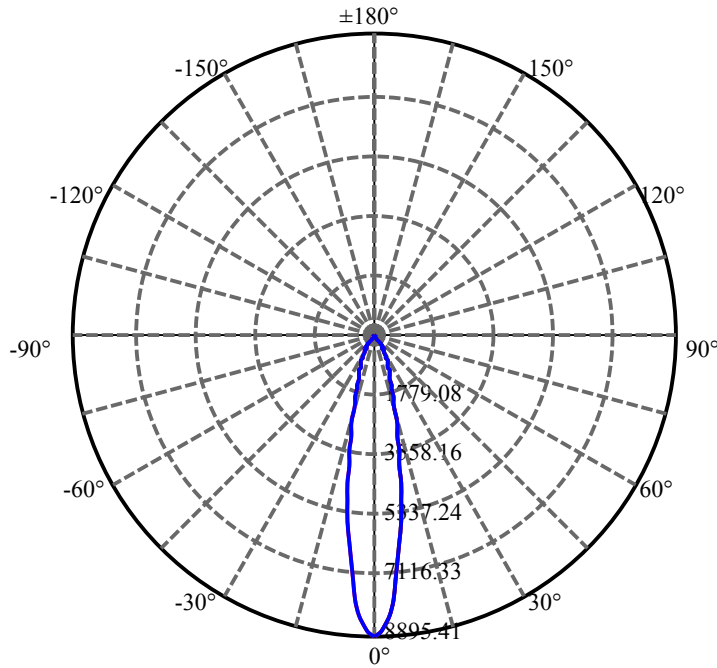
$\gamma(^{\circ})$	Average I(cd)	Zonal F(lm)	Sum F(lm)	Eff Flux(%)	Eff Sum(%)
76.0	11.244	1.209	1965.339	0.06%	99.27%
77.0	10.967	1.184	1966.523	0.06%	99.33%
78.0	10.697	1.160	1967.682	0.06%	99.39%
79.0	10.420	1.135	1968.817	0.05%	99.45%
80.0	10.157	1.109	1969.926	0.05%	99.51%
81.0	9.874	1.083	1971.01	0.05%	99.56%
82.0	9.611	1.057	1972.066	0.05%	99.61%
83.0	9.341	1.030	1973.097	0.05%	99.67%
84.0	9.092	1.004	1974.101	0.05%	99.72%
85.0	8.870	0.980	1975.081	0.05%	99.77%
86.0	8.663	0.958	1976.039	0.05%	99.82%
87.0	8.497	0.939	1976.979	0.04%	99.86%
88.0	8.310	0.921	1977.899	0.04%	99.91%
89.0	8.158	0.903	1978.802	0.04%	99.95%
90.0	8.095	0.891	1979.693	0.04%	100.00%

ZONAL LUMEN SUMMARY

Zone	Lumens	%Lamp	%Fixt
0-30	1722.17	82.36%	86.99%
0-40	1886.79	90.23%	95.31%
0-60	1939.50	92.75%	97.97%
0-90	1978.80	94.63%	99.95%
0-120	1978.80	94.63%	99.95%
0-180	1979.69	94.67%	100.00%
60-90	39.31	1.88%	1.99%
90-120	0.00	0.00%	0.00%
90-130	0.00	0.00%	0.00%
90-150	0.00	0.00%	0.00%
90-180	0.00	0.00%	0.00%
0-26.42	1583.75	75.74%	80.00%

ZONAL LUMEN SUMMARY

0-10	599.72
10-20	681.76
20-30	440.69
30-40	164.63
40-50	29.25
50-60	23.45
60-70	18.19
70-80	12.24
80-90	8.88
90-100	0.00
100-110	0.00
110-120	0.00
120-130	0.00
130-140	0.00
140-150	0.00
150-160	0.00
160-170	0.00
170-180	0.00



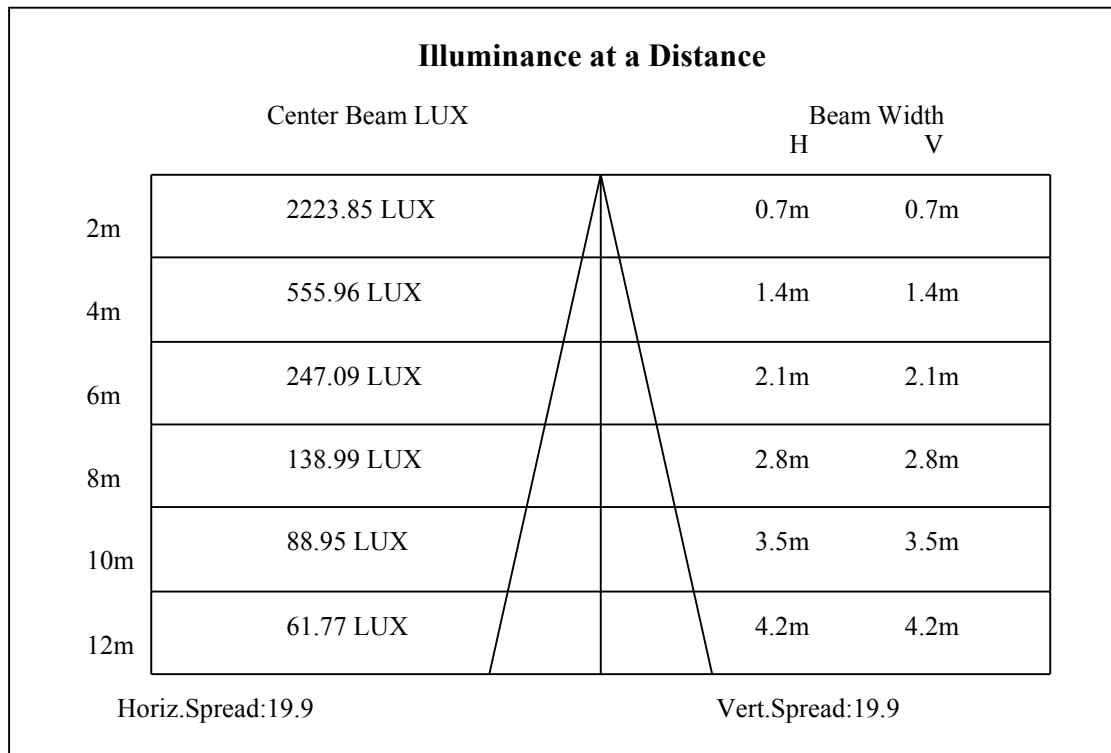
C0(Max): —————

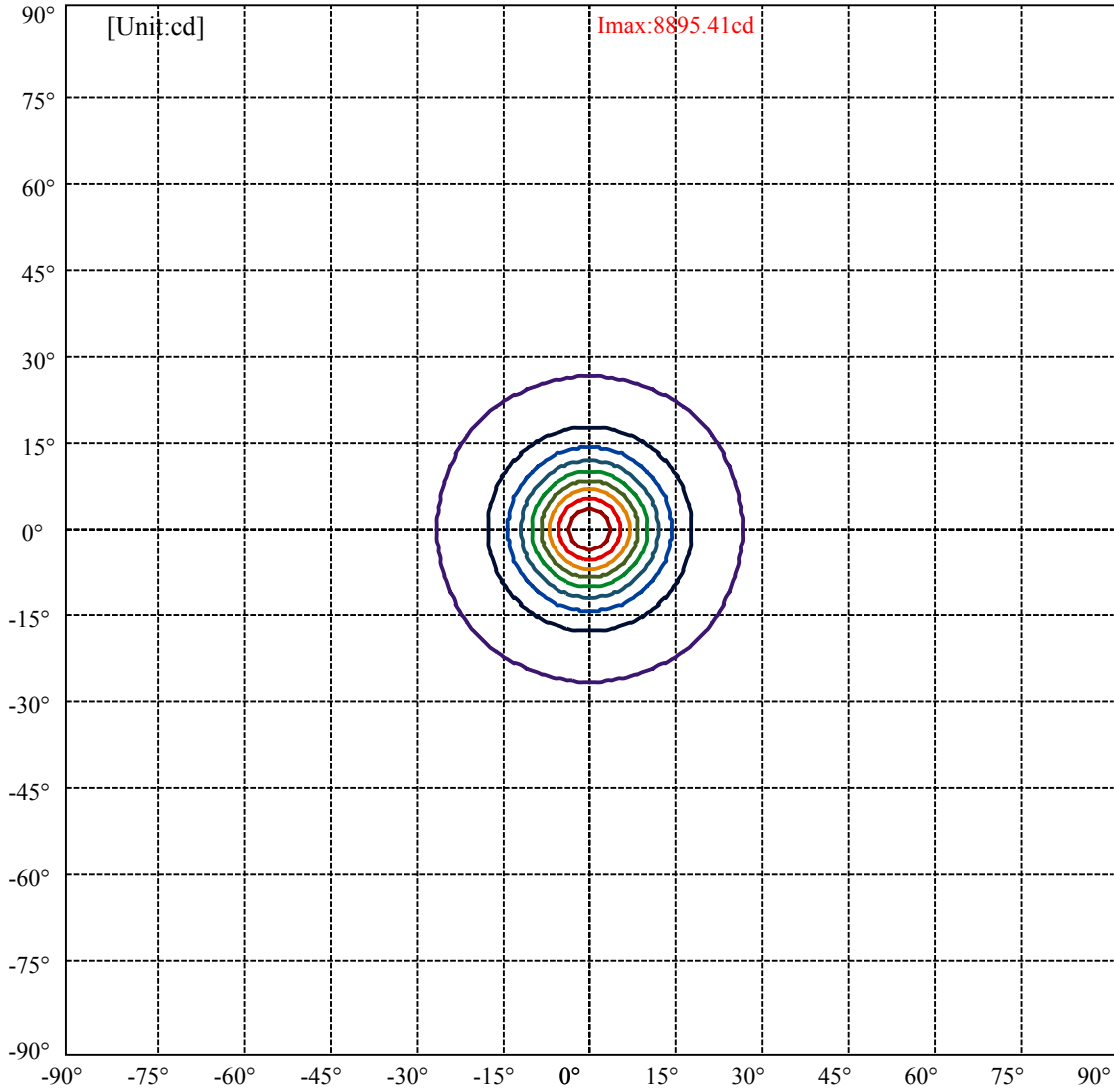
C0/C180: —————

C90/C270: —————

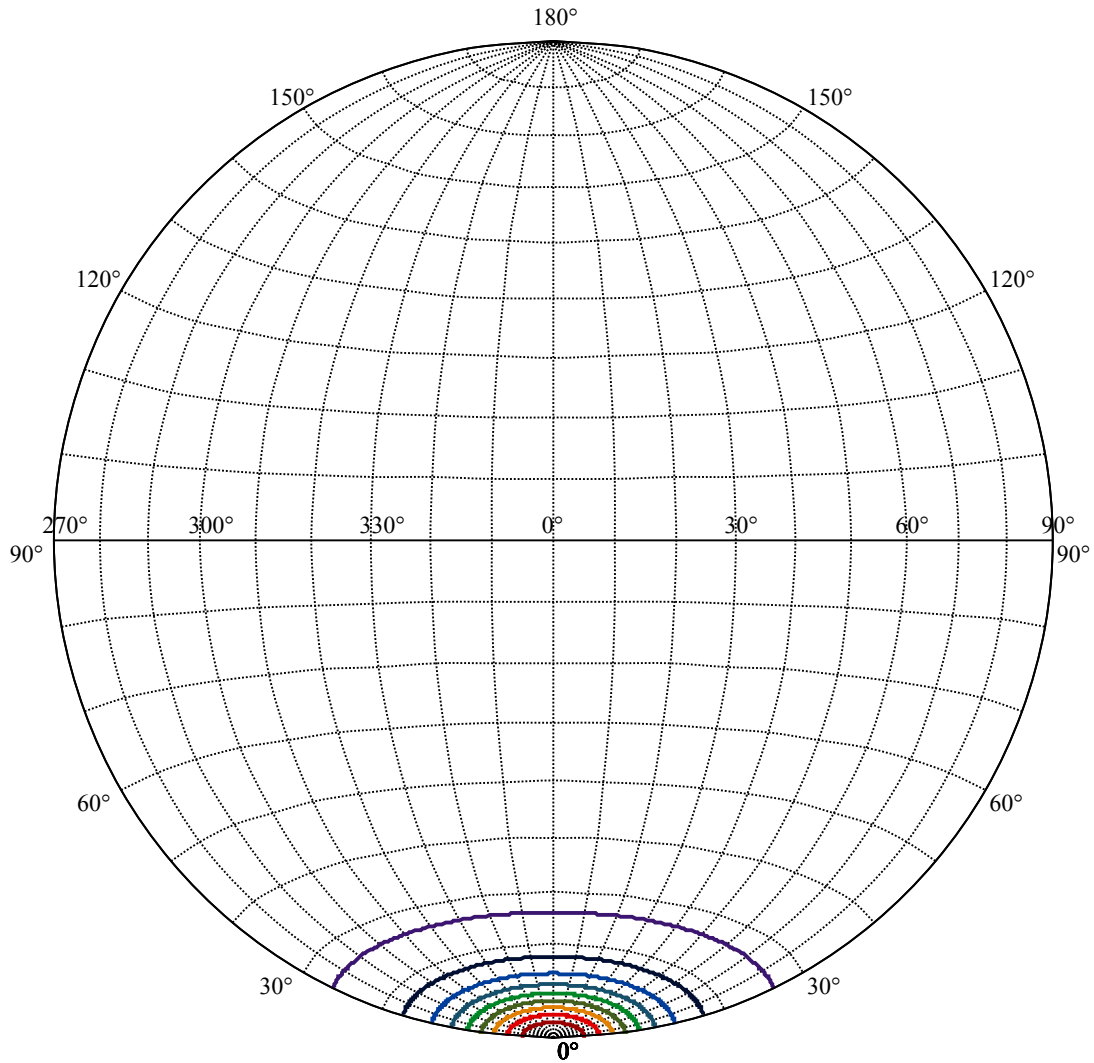
Field angle(10%Imax):C0/180Left:26.2 Right:26.2
:C90/270Left:26.2 Right:26.2

Beam Angle(50%Imax):C0/180Left:9.9 Right:9.9
:C90/270Left:9.9 Right:9.9





(10%Imax) 889.541	—
(20%Imax) 1779.08	—
(30%Imax) 2668.62	—
(40%Imax) 3558.16	—
(50%Imax) 4447.7	—
(60%Imax) 5337.24	—
(70%Imax) 6226.79	—
(80%Imax) 7116.33	—
(90%Imax) 8005.87	—



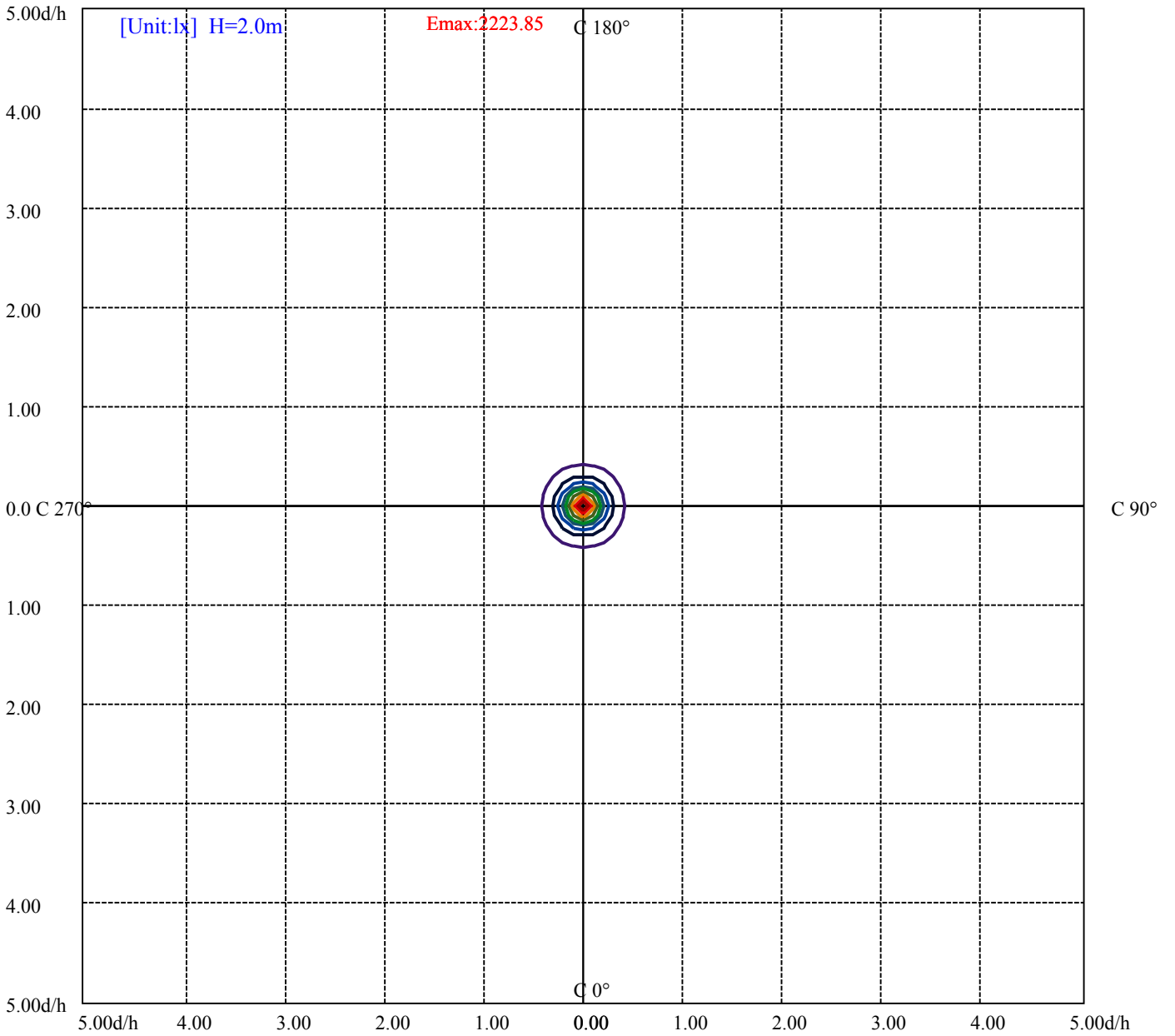
House

[Unit:cd]

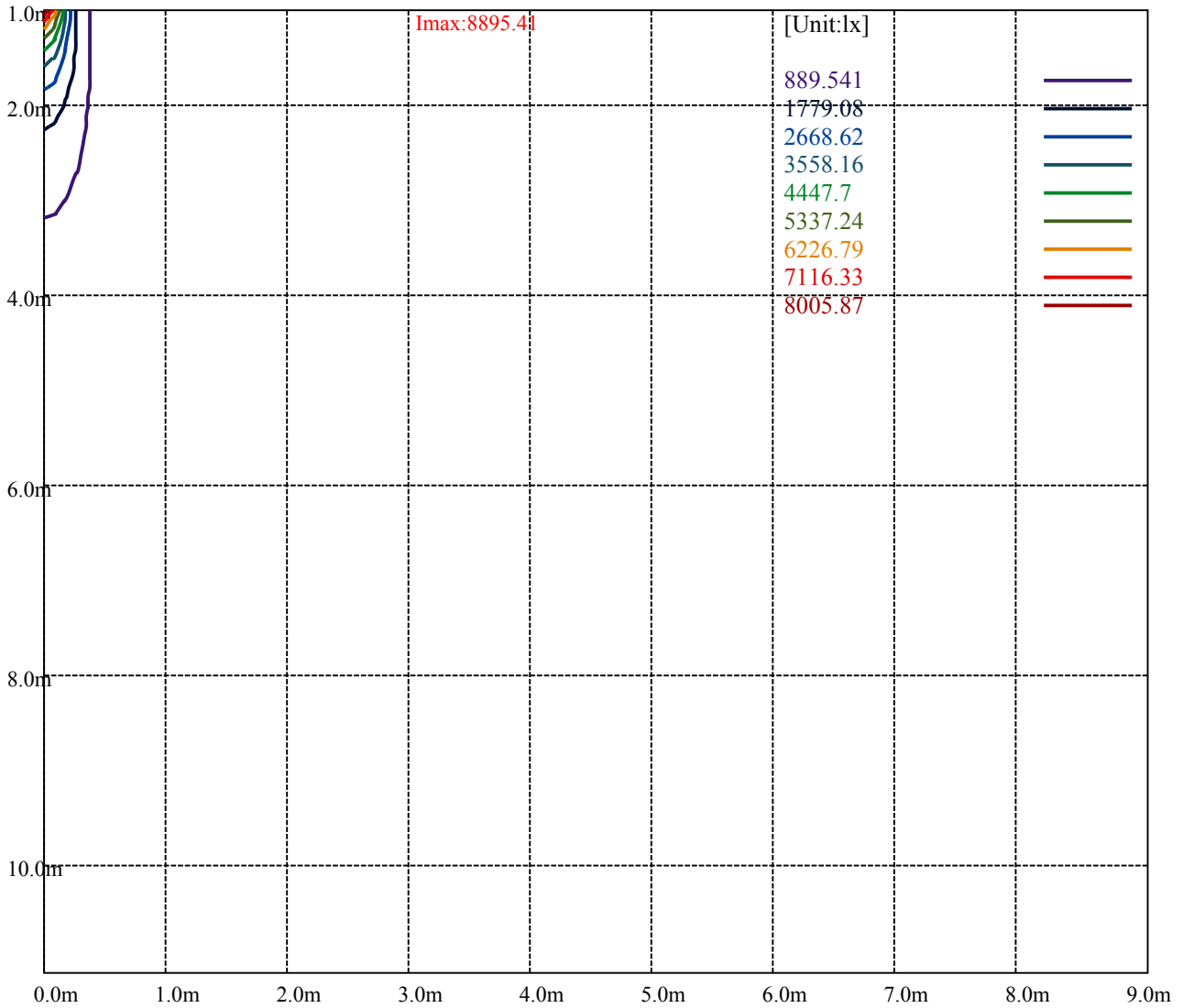
Road

I_{max}:8895.41

(10%I _{max}) 889.541	—
(20%I _{max}) 1779.08	—
(30%I _{max}) 2668.62	—
(40%I _{max}) 3558.16	—
(50%I _{max}) 4447.7	—
(60%I _{max}) 5337.24	—
(70%I _{max}) 6226.79	—
(80%I _{max}) 7116.33	—
(90%I _{max}) 8005.87	—



- (10%Emax) 222.3848
- (20%Emax) 444.77
- (30%Emax) 667.155
- (40%Emax) 889.54
- (50%Emax) 1111.925
- (60%Emax) 1334.31
- (70%Emax) 1556.695
- (80%Emax) 1779.08
- (90%Emax) 2001.463



Luminance Table

γ	45	50	55	60	65	70	75	80	85
C0	0	0	0	0	0	0	0	0	0
C45	0	0	0	0	0	0	0	0	0
C90	0	0	0	0	0	0	0	0	0

L(Hor)(65)	L(Ver)(65)	L45(65)	L(Hor)(75)	L(Ver)(75)	L45(75)	L(Hor)(85)	L(Ver)(85)	L45(85)
0	0	0	0	0	0	0	0	0

Glare Table

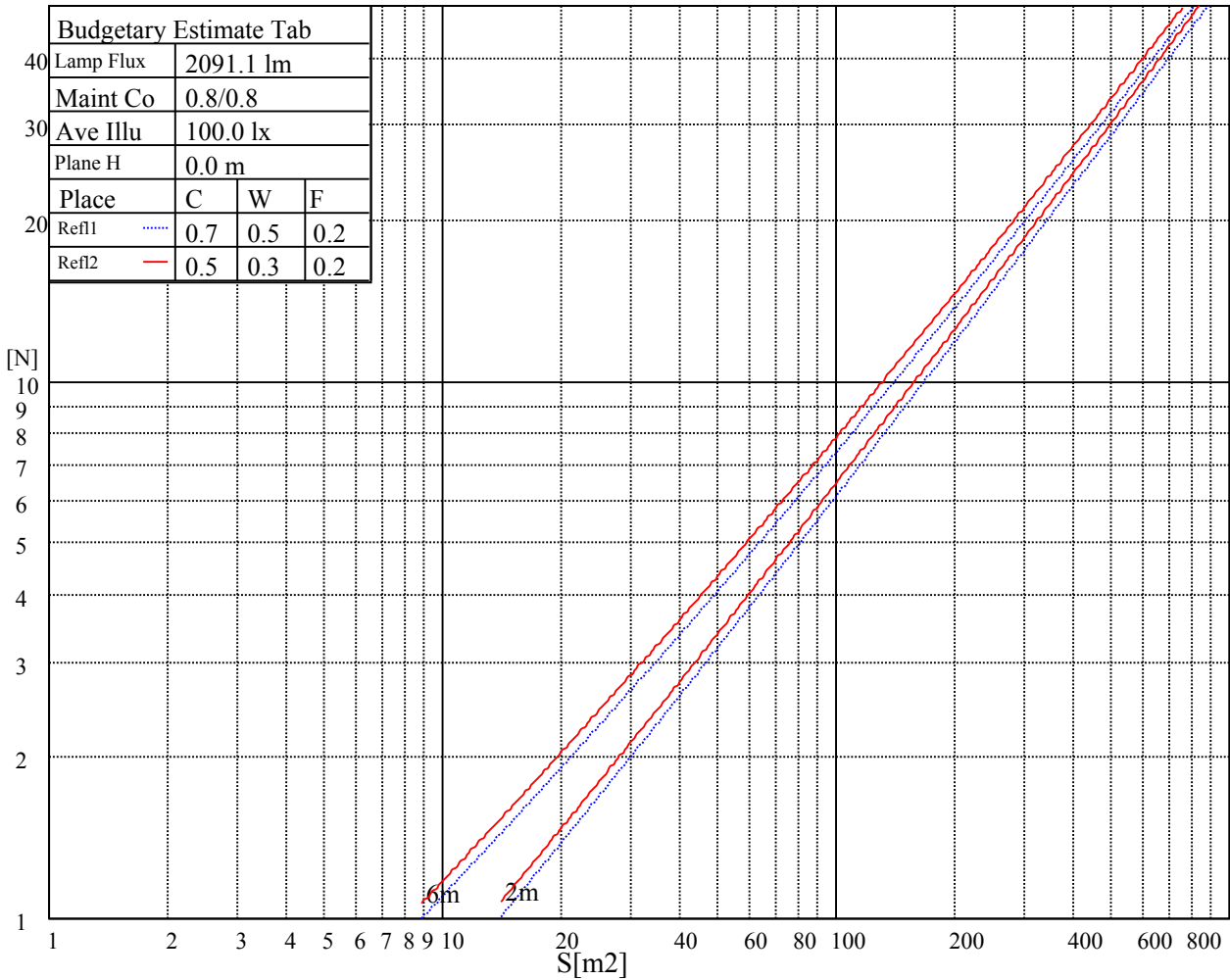
Glare	Quality	Service Values Illuminance(lx)							
1.15	A	2000	1000	500	<=300				
1.5	B		2000	1000	500	<=300			
1.85	C			2000	1000	500	<=300		
2.2	D				2000	1000	500	<=300	
2.55	E					2000	1000	500	<=300
		a	b	c	d	e	f	g	h

Luminance Limiting Curve

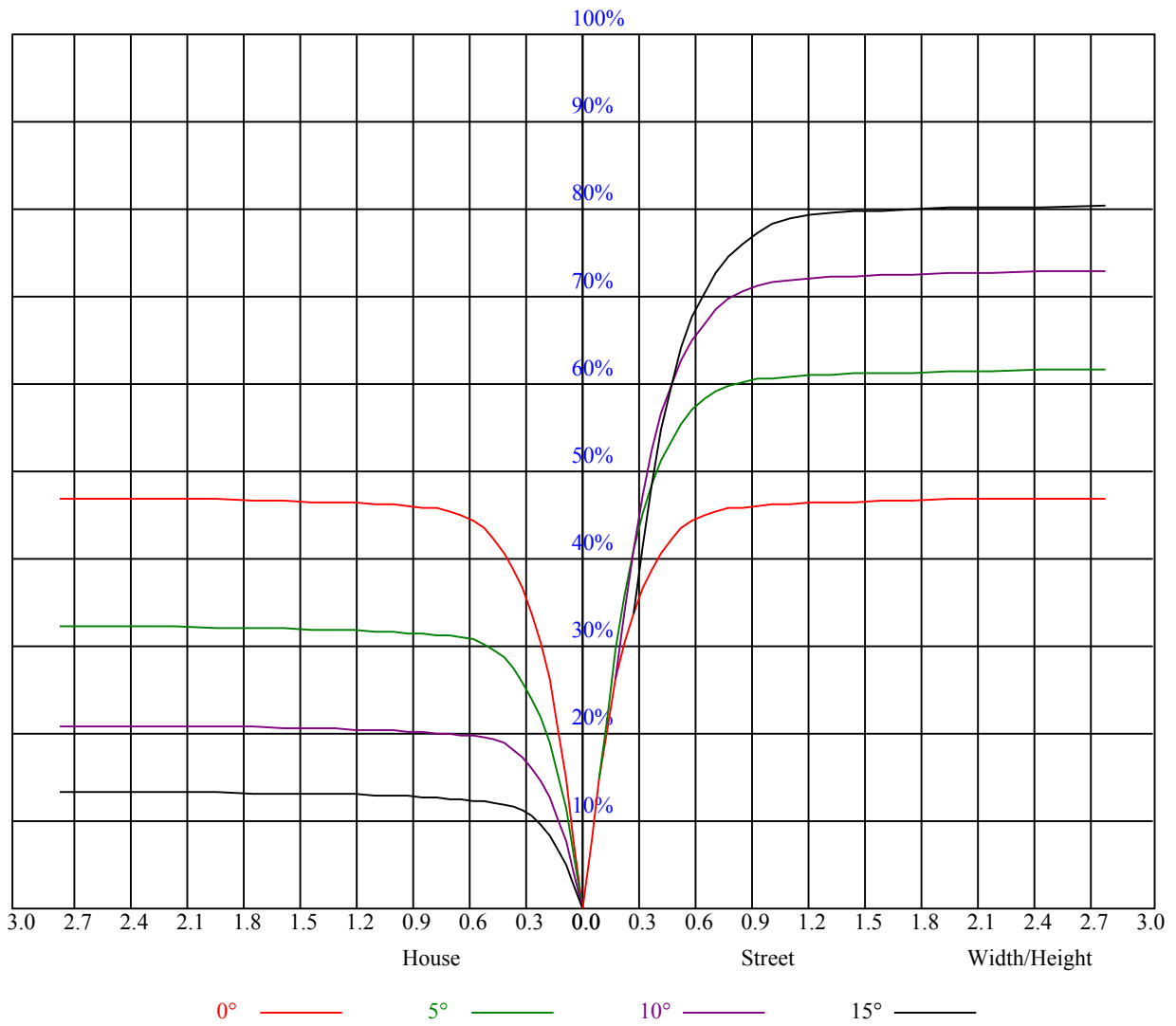


Illumination assessment according UGR										
Rf of Ceiling	70	70	50	50	30	70	70	50	50	30
Rf of Wall	50	30	50	30	30	50	30	50	30	30
Rf of Floor	20	20	20	20	20	20	20	20	20	20
Room dimensions	Viewed crosswise					Viewed endwise				
X	Y									
2H	2H	非数字	非数字	非数字	非数字	非数字	非数字	非数字	非数字	非数字
	3H	非数字	非数字	非数字	非数字	非数字	非数字	非数字	非数字	非数字
	4H	非数字	非数字	非数字	非数字	非数字	非数字	非数字	非数字	非数字
	6H	非数字	非数字	非数字	非数字	非数字	非数字	非数字	非数字	非数字
	8H	非数字	非数字	非数字	非数字	非数字	非数字	非数字	非数字	非数字
	12H	非数字	非数字	非数字	非数字	非数字	非数字	非数字	非数字	非数字
4H	2H	非数字	非数字	非数字	非数字	非数字	非数字	非数字	非数字	非数字
	3H	非数字	非数字	非数字	非数字	非数字	非数字	非数字	非数字	非数字
	4H	非数字	非数字	非数字	非数字	非数字	非数字	非数字	非数字	非数字
	6H	非数字	非数字	非数字	非数字	非数字	非数字	非数字	非数字	非数字
	8H	非数字	非数字	非数字	非数字	非数字	非数字	非数字	非数字	非数字
	12H	非数字	非数字	非数字	非数字	非数字	非数字	非数字	非数字	非数字
8H	4H	非数字	非数字	非数字	非数字	非数字	非数字	非数字	非数字	非数字
	6H	非数字	非数字	非数字	非数字	非数字	非数字	非数字	非数字	非数字
	8H	非数字	非数字	非数字	非数字	非数字	非数字	非数字	非数字	非数字
	12H	非数字	非数字	非数字	非数字	非数字	非数字	非数字	非数字	非数字
12H	4H	非数字	非数字	非数字	非数字	非数字	非数字	非数字	非数字	非数字
	6H	非数字	非数字	非数字	非数字	非数字	非数字	非数字	非数字	非数字
	8H	非数字	非数字	非数字	非数字	非数字	非数字	非数字	非数字	非数字
Variation with the observer position at spacings:										
S = 1.0H	非数字/非数字					非数字/非数字				
S = 1.5H	非数字/非数字					非数字/非数字				
S = 2.0H	非数字/非数字					非数字/非数字				
Standard tables:	BK0					BK0				
Uncorrected UGR	负无穷大					负无穷大				

UGR calculation is based on CIE Publ. 117 ,S/H = 0.25



RHOCC	80			70			50			30			10			0
RHOW	50	30	10	50	30	10	50	30	10	50	30	10	50	30	10	0
RCR	COEFFICIENTS OF UTILIZATION RHOF=20 CU															
0	1.13	1.13	1.13	1.10	1.10	1.10	1.05	1.05	1.05	1.01	1.01	1.01	0.97	0.97	0.97	0.95
1	1.06	1.04	1.02	1.04	1.02	1.00	1.00	0.98	0.97	0.96	0.95	0.94	0.93	0.92	0.92	0.90
2	1.00	0.97	0.94	0.98	0.95	0.93	0.95	0.93	0.91	0.93	0.91	0.89	0.90	0.88	0.87	0.86
3	0.95	0.91	0.88	0.94	0.90	0.87	0.91	0.88	0.86	0.89	0.86	0.84	0.87	0.85	0.83	0.82
4	0.90	0.86	0.83	0.89	0.85	0.82	0.87	0.84	0.81	0.86	0.83	0.80	0.84	0.81	0.79	0.78
5	0.86	0.82	0.79	0.86	0.81	0.78	0.84	0.80	0.78	0.82	0.79	0.77	0.81	0.78	0.76	0.75
6	0.83	0.78	0.75	0.82	0.78	0.75	0.81	0.77	0.74	0.80	0.76	0.74	0.78	0.76	0.73	0.72
7	0.80	0.75	0.72	0.79	0.75	0.72	0.78	0.74	0.71	0.77	0.73	0.71	0.76	0.73	0.71	0.69
8	0.77	0.72	0.69	0.76	0.72	0.69	0.75	0.71	0.69	0.74	0.71	0.68	0.73	0.70	0.68	0.67
9	0.74	0.69	0.66	0.73	0.69	0.66	0.73	0.69	0.66	0.72	0.68	0.66	0.71	0.68	0.66	0.65
10	0.71	0.67	0.64	0.71	0.67	0.64	0.70	0.67	0.64	0.70	0.66	0.64	0.69	0.66	0.64	0.63



Intensity data(cd)

C/γ(°)	0.0	1.0	2.0	3.0	4.0	5.0	6.0	7.0	8.0
0.0	8821.09	8484.54	8103.71	7498.70	6967.86	6274.28	5708.56	5155.03	4618.65
45.0	8941.77	8858.18	8661.12	8238.77	7803.70	7303.30	6770.80	6078.32	5522.02
90.0	8893.05	8669.98	8382.14	7983.59	7507.00	6851.06	6305.27	5760.59	5194.33
135.0	8925.71	8900.80	8772.94	8509.45	8025.66	7549.62	7045.35	6500.67	5813.73
180.0	8821.09	8935.68	8922.94	8835.49	8508.35	8133.05	7662.54	7135.58	6451.41
225.0	8941.77	8894.71	8688.25	8393.76	7984.15	7351.46	6813.42	6226.12	5489.91
270.0	8893.05	8934.57	8879.22	8620.16	8294.13	7831.93	7183.18	6615.25	5873.52
315.0	8925.71	8814.45	8475.13	8077.70	7604.98	7069.71	6378.89	5791.59	5209.83
360.0	8821.09	8484.54	8103.71	7498.70	6967.86	6274.28	5708.56	5155.03	4618.65
C/γ(°)	9.0	10.0	11.0	12.0	13.0	14.0	15.0	16.0	17.0
0.0	4030.24	3604.02	3215.44	2851.21	2458.75	2195.82	1960.02	1759.08	1565.34
45.0	4969.59	4350.18	3901.82	3395.89	3015.61	2672.42	2377.94	2059.65	1846.54
90.0	4538.39	4068.43	3632.80	3230.93	2789.21	2489.20	2160.40	1936.77	1757.97
135.0	5259.64	4723.82	4238.92	3693.69	3299.57	2937.01	2539.57	2265.57	2036.40
180.0	5874.07	5310.57	4755.93	4129.88	3691.48	3197.17	2848.44	2529.60	2204.68
225.0	4920.33	4409.97	3840.38	3435.19	3058.78	2714.49	2344.72	2091.20	1873.66
270.0	5306.69	4760.91	4271.03	3714.17	3313.41	2944.20	2609.87	2245.09	2000.98
315.0	4674.00	4064.01	3637.23	3241.45	2881.65	2488.09	2215.20	1983.82	1744.14
360.0	4030.24	3604.02	3215.44	2851.21	2458.75	2195.82	1960.02	1759.08	1565.34
C/γ(°)	18.0	19.0	20.0	21.0	22.0	23.0	24.0	25.0	26.0
0.0	1439.14	1304.63	1091.91	1091.91	1040.76	977.43	920.59	866.56	782.31
45.0	1672.18	1531.58	1383.23	1279.72	1195.03	1113.11	1027.86	965.31	912.17
90.0	1578.08	1454.08	1344.48	1192.26	1089.64	1070.65	1003.84	930.72	874.37
135.0	1801.15	1650.59	1490.06	1379.36	1285.26	1198.90	1102.59	1033.95	971.40
180.0	1989.35	1791.19	1630.66	1467.37	1360.54	1264.22	1174.55	1081.00	1016.24
225.0	1652.25	1507.78	1387.11	1206.10	1096.39	1096.39	1012.36	951.64	896.12
270.0	1808.90	1628.45	1451.32	1314.59	1226.58	1143.00	1071.59	990.77	937.08
315.0	1580.84	1420.32	1310.72	1092.96	1092.96	1039.37	978.21	920.70	853.05
360.0	1439.14	1304.63	1091.91	1091.91	1040.76	977.43	920.59	866.56	782.31
C/γ(°)	27.0	28.0	29.0	30.0	31.0	32.0	33.0	34.0	35.0
0.0	709.36	634.74	562.67	473.16	403.58	336.99	259.22	202.65	152.72
45.0	838.00	768.25	679.13	607.17	534.66	444.43	374.69	308.26	292.21
90.0	805.56	735.32	644.32	568.48	473.22	399.82	330.63	264.59	188.70
135.0	911.06	823.61	749.43	673.04	578.94	503.66	429.49	344.24	294.98
180.0	957.56	899.99	814.20	741.13	641.49	565.66	491.48	401.81	337.05
225.0	821.00	749.88	678.03	600.92	507.37	431.59	360.79	295.64	221.75
270.0	884.50	820.84	732.27	656.44	577.28	500.34	406.24	337.60	288.34
315.0	785.86	713.29	638.89	565.82	475.76	405.24	338.04	260.77	204.37
360.0	709.36	634.74	562.67	473.16	403.58	336.99	259.22	202.65	152.72
C/γ(°)	36.0	37.0	38.0	39.0	40.0	41.0	42.0	43.0	44.0
0.0	102.63	74.23	60.22	52.86	47.83	43.90	40.41	36.59	34.10
45.0	216.76	122.83	86.13	65.26	55.35	49.76	45.11	40.63	37.47
90.0	139.05	99.91	72.73	58.56	52.70	47.38	42.40	39.08	36.04
135.0	294.98	149.62	107.33	77.38	64.15	56.24	50.48	46.00	42.23
180.0	291.10	291.10	146.41	106.72	76.00	62.94	54.97	49.54	45.17
225.0	169.49	125.98	84.30	65.98	56.41	51.04	46.16	42.29	38.14
270.0	288.34	143.37	105.12	72.07	59.73	52.53	47.55	43.51	39.74
315.0	143.97	105.56	77.77	62.00	55.80	50.37	46.11	41.18	37.86
360.0	102.63	74.23	60.22	52.86	47.83	43.90	40.41	36.59	34.10

Intensity data(cd)

C/γ(°)	45.0	46.0	47.0	48.0	49.0	50.0	51.0	52.0	53.0
0.0	32.05	30.50	28.84	27.79	26.90	26.07	25.57	25.30	25.35
45.0	34.82	32.16	30.61	29.34	27.95	27.07	26.35	25.85	25.46
90.0	33.05	31.22	29.84	28.40	27.40	26.63	25.91	25.52	25.30
135.0	38.14	35.48	33.32	31.27	29.95	28.73	27.51	26.79	26.18
180.0	40.63	37.64	35.09	32.71	31.27	30.00	28.67	27.79	27.12
225.0	35.54	33.32	31.61	30.00	28.84	27.90	27.07	26.18	25.63
270.0	35.92	33.60	31.72	30.28	28.84	27.90	27.07	26.40	25.68
315.0	35.26	33.05	31.00	29.61	28.45	27.34	26.57	25.79	25.52
360.0	32.05	30.50	28.84	27.79	26.90	26.07	25.57	25.30	25.35
C/γ(°)	54.0	55.0	56.0	57.0	58.0	59.0	60.0	61.0	62.0
0.0	25.35	25.85	26.35	26.57	26.57	25.63	24.36	22.53	20.31
45.0	25.35	25.46	25.74	26.35	26.68	26.79	26.29	25.19	23.08
90.0	25.41	25.79	26.29	26.63	26.90	26.74	25.96	24.08	21.92
135.0	25.68	25.52	25.85	26.24	26.46	26.74	26.85	26.29	24.69
180.0	26.29	25.96	25.79	25.96	26.29	26.51	26.74	26.68	26.07
225.0	25.19	25.13	25.24	25.52	25.91	26.13	25.74	24.85	23.30
270.0	25.35	25.13	25.35	25.68	26.13	26.51	26.96	26.74	25.08
315.0	25.24	25.35	25.68	25.96	26.24	26.46	25.85	24.91	23.14
360.0	25.35	25.85	26.35	26.57	26.57	25.63	24.36	22.53	20.31
C/γ(°)	63.0	64.0	65.0	66.0	67.0	68.0	69.0	70.0	71.0
0.0	17.77	16.16	15.17	14.34	13.84	13.40	12.90	12.57	12.23
45.0	20.98	18.88	16.88	15.50	14.67	14.17	13.67	13.17	12.79
90.0	19.82	17.05	15.83	14.83	14.28	13.67	13.28	12.95	12.62
135.0	22.69	20.43	17.60	16.27	15.06	14.45	14.00	13.45	13.12
180.0	24.69	22.03	19.87	17.71	16.00	15.06	14.45	13.95	13.45
225.0	21.20	18.60	16.77	15.61	14.72	14.06	13.62	13.23	12.73
270.0	23.14	20.76	18.60	16.38	15.28	14.56	13.95	13.56	13.06
315.0	20.81	18.21	16.50	15.11	14.50	14.06	13.51	13.12	12.73
360.0	17.77	16.16	15.17	14.34	13.84	13.40	12.90	12.57	12.23
C/γ(°)	72.0	73.0	74.0	75.0	76.0	77.0	78.0	79.0	80.0
0.0	11.85	11.57	11.35	11.07	10.79	10.52	10.30	10.02	9.74
45.0	12.45	12.07	11.79	11.51	11.18	10.96	10.74	10.41	10.13
90.0	12.18	11.90	11.62	11.29	11.07	10.79	10.52	10.24	9.96
135.0	12.73	12.40	12.07	11.79	11.46	11.24	10.90	10.63	10.41
180.0	13.06	12.73	12.34	12.01	11.68	11.40	11.02	10.79	10.52
225.0	12.40	12.07	11.73	11.46	11.18	10.85	10.63	10.35	10.13
270.0	12.73	12.34	12.01	11.68	11.40	11.13	10.85	10.57	10.35
315.0	12.40	12.01	11.73	11.46	11.18	10.85	10.63	10.35	10.02
360.0	11.85	11.57	11.35	11.07	10.79	10.52	10.30	10.02	9.74
C/γ(°)	81.0	82.0	83.0	84.0	85.0	86.0	87.0	88.0	89.0
0.0	9.47	9.24	8.97	8.80	8.58	8.41	8.25	8.08	8.08
45.0	9.85	9.58	9.30	9.08	8.86	8.64	8.47	8.25	8.08
90.0	9.69	9.47	9.24	8.97	8.75	8.52	8.36	8.19	8.08
135.0	10.07	9.80	9.47	9.24	8.97	8.80	8.64	8.41	8.25
180.0	10.24	10.02	9.69	9.41	9.19	8.91	8.75	8.52	8.36
225.0	9.80	9.58	9.30	9.02	8.86	8.64	8.47	8.30	8.14
270.0	10.07	9.74	9.52	9.19	8.97	8.75	8.58	8.41	8.19
315.0	9.80	9.47	9.24	9.02	8.80	8.64	8.47	8.30	8.08
360.0	9.47	9.24	8.97	8.80	8.58	8.41	8.25	8.08	8.08

Intensity data(cd)

C/γ(°)	90.0
0.0	8.08
45.0	8.08
90.0	8.08
135.0	8.14
180.0	8.14
225.0	8.03
270.0	8.08
315.0	8.14
360.0	8.08